

INSTITUTO DEL MUSEO DE LA UNIVERSIDAD NACIONAL DE LA PLATA

REVISTA DEL MUSEO DE LA PLATA

(NUEVA SERIE)

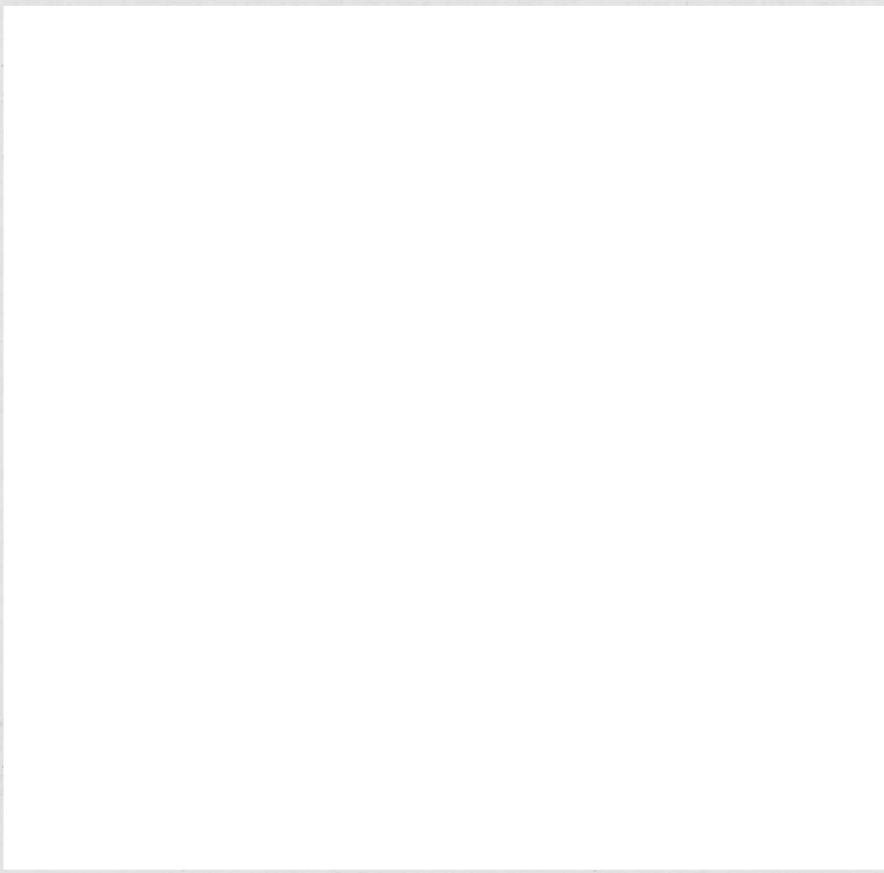
TOMO II

Zoología, N° 11

DESCRIPCIÓN DE DOS HIMENÓPTEROS (CHALCID.)

PARÁSITOS DE LARVAS DE STROBELIA BACCHARIDIS ROND.

Por EVERARD E. BLANCHARD



DESCRIPCIÓN DE LOS HIMENÓPTEROS PARÁSITOS

El doctor Carlos Bruch ha tenido la deferencia de confiarme la identificación de las dos interesantes especies de calcidoídeos que obtuvo de las crías del díptero, cuya biología forma el tema principal de este trabajo. Las dos formas han resultado nuevas para nuestra entomofauna, y una de ellas, representante de un género nuevo al que doy el nombre de *Epicatolaccus*.

EPICATOLACCUS, gen. nov.

Genotipo, *Epicatolaccus strobeliae*, sp. nov.

Género pteromalino cerca de *Neocatolaccus* Ashmead, distinguiéndose principalmente por el propodeo bien desarrollado y la nervadura estigmática y postmarginal subiguales. De *Pseudocatolaccus* Masi, se distingue también por este último carácter, por la carena mediana propodeal y la nuca apenas saliente del borde apical propodeal. Para los demás caracteres, véase la descripción del genotipo que sigue.

Epicatolaccus strobeliae, sp. nov.

Hembra. — Cabeza y tórax verde oscuro negruzco, subluciente con reflejos débiles verde dorados. Abdomen verde azulado negruzco al azul verdoso luciente con algunos reflejos cobrizos o violáceos. Antenas negro amarillentas, con los 2/3 basales del escapo más claro, amarillentos. Patas negruzcas con las articulaciones, ápices tibiales, los cuatro segmentos proximales de los tarsos y los espolones, amarillo blanquecinos.

Cabeza finamente microreticulada y provista de pelitos blancos de 0.025; la reticulación occipital muy alargada. Altura 0.665; ancho, 0.825; largo, 0.360. Sagita del arco supraocular (0.10) 1/6 de su cuerda; la del arco infraocular (0.25), 1/3 de su cuerda (0.75). Línea interocular, 0.550; ocelocular, 0.150; antenocular, 0.200; frontal, 0.300; interantenal, 0.050; clipeo-antenal, 0.300; latero-ocelar, 0.075; postocelar, 0.195; temporal, 0.100; y malar, 0.200. Ojos calvos, 0.325 \times 0.250.

Antenas insertas en el 1/3 inferior de la altura ocular. Escapo, 0.250;

pedicelo, 0.091; Anillos: I, 0.012 \times 0.025; II, 0.025 \times 0.033; III, 0.020 \times 0.041. Funiculo: I, 0.058 \times 0.058; II, 0.066 \times 0.058; III, 0.065 \times 0.058; IV, 0.058 \times 0.063; V, 0.058 \times 0.066. Maza: I, 0.050 \times 0.074; II, 0.050 \times 0.067; III, 0.066 \times 0.058. Escapo y pedicelo débilmente marcados con reticulación alargada. Todos los segmentos del funículo y de la maza con sensores, dispuestos en el orden siguiente: 8; 8; 9; 10; 11; 14; 12; y 9. Palpos maxilares: I, 0.041; II, 0.041; III,

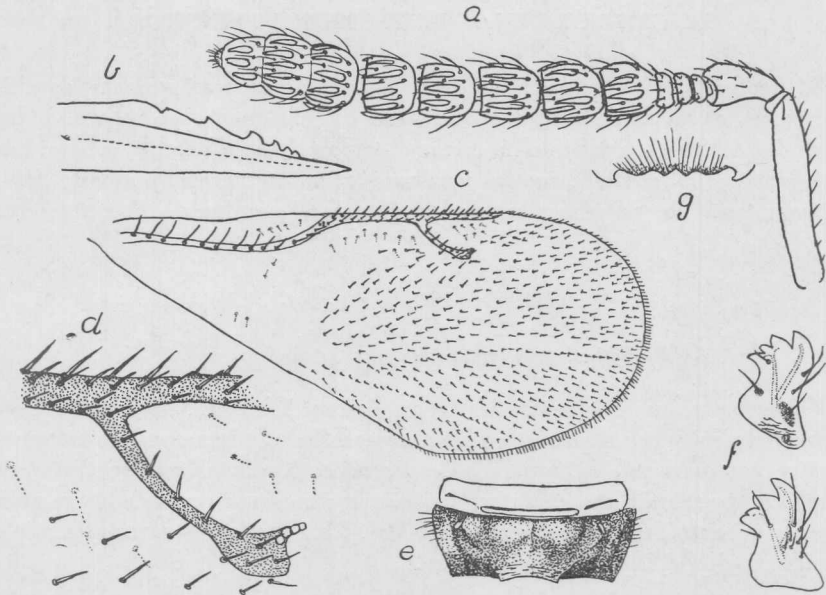


Fig. 5. — *Epicalotaccus strobeliae*, sp. nov., ♀: a, antena; b, ápice del ovipositor; c, ala anterior; d, nervadura estigmática; e, propodeo; f, mandíbulas; g, perfil apical del cípeo

0.045; IV, 0.087. Palpos labiales: I, 0.042; II, 0.020; III, 0.042. Mandíbulas: 0.208 \times 0.133.

Tórax, 0.85 \times 0.65, con microreticulación subpoligonal. Pronoto, 0.050, con pelos blancos (0.045) en una serie preapical. Mesonoto con pocos pelos blanquecinos (34) esparcidos en los $\frac{3}{5}$ medianos de su disco, casi todos separados por más de su largo. Surcos parapsidales subrectos, incompletos, en ángulo de 120° , sus ápices separados por 0.225, o sea $1\frac{1}{4}$ veces la base escutelar (0.183) que a su vez es subigual a la distancia entre ésta y los ápices de los surcos. Escutelo, 0.291 \times 0.375; sagita del arco apical (0.083) un poco más que el $\frac{1}{4}$ de su cuerda; reticulación parecida a la mesonotal y un par de cerditas apicales que miden 2 veces el largo de los 10 pelos del disco escutelar. Axilas y placas lateroescutelares microreticuladas; las primeras con 7-8 pelitos cerca de la sutura interna. Meta-

noto reticulado en la mitad anterior de los tercios externos; mitad posterior de éstos, liso luciente; impresión mediana con 8 rugas gruesas completas. Propodeo, 0.166×0.583 , completamente microreticulado y con pelos finos, largos y blanquecinos (0.080) en los bordes laterales. Carena mediana débil, borrándose cerca del $1/3$ apical. Espiráculos subelípticos, 0.041×0.025 .

Abdomen 1.830×0.850 en ejemplares embalsamados. Ejemplares secos presentan el dorso abdominal profundamente ahuecado en toda su extensión y mide 1.800×0.550 . Borde posterior de los segmentos I, II y III, convexos y con una muesca subrectangular sobre el mediano. IV, V y VI con bordes apicales subrectos y sin muescas. Todos los segmentos con microreticulación fina, escamosa, lateral, acompañada de pelos claros que miden desde 0.025 hasta 0.066, que se extiende hacia el mediano con progresiva intensidad en los segmentos IV, V, VI y VII. Largo de los segmentos sobre la línea mediana: 0.316; 0.200; 0.200; 0.225; 0.233; 0.233; 0.225. Vaina del oviscapto, 0.316; taladro (1.500) completamente oculto.

Patas con las siguientes medidas:

	I	II	III
Coxas.....	0.250	0.166	0.266
Fémures.....	0.366	0.341	0.433
Tibias.....	0.375	0.500	0.541
Espolones.....	0.100	0.108	0.075
Tarsos I.....	0.120	0.183	0.191
» II.....	0.105	0.110	0.125
» III.....	0.066	0.080	0.075
» IV.....	0.050	0.060	0.052
» V.....	0.075	0.080	0.090

Coxas y fémures marcados con reticulación fina; tibias con reticulación borrada. Fémures intermedios con espolón apical (0.066).

Alas anteriores, 1.680×0.742 . Nervadura submarginal, 0.667; marginal, 0.308; postmarginal, 0.200 y la estigmática, 0.200.

Alas posteriores, 1.200×0.241 , Cilias de la margen posterior, 0.050. Nervadura subcostal: sección basal, 0.205, con 7-8 cerditas claras; sección intermedia, 0.250; sección distal, 0.330.

Largo. — 2.25 mm.

Tipos en la colección del autor; fototipos en el Museo de La Plata.

Observaciones. — Sobre larva de *Strobelia baccharidis*, Rond. en Alta Gracia, Córdoba, criado por el doctor Carlos Bruch, II-1940.

Habrocytus bruchi sp. nov.

Hembra. — Cabeza y tórax verde bronceado mate. Abdomen verde negruzco luciente con reflejos netamente cobrizos. Antenas negruzcas, el tercio basal del escapo, claro amarillento. Mandíbulas testáceo oscuras con dientes pardo ferruginosos. Palpos maxilares y labiales negros. Ojos rojo

negruzcos. Coxas, trocánteres y fémures, negro metálicos con el 1/8 apical de éstos y las articulaciones de los primeros, amarillentos. Tibias ocre parduscas con ápices claros blanquecinos; tarsos y espolones intermedios y posteriores blanquecinos con distotarsos negruzcos; tarsos y espolón anteriores, parduscos. Alas hialinas iridiscentes con nervaduras parduscas; tégulas amarillentas, paratégulas negruzcas.

Cabeza densa y finamente microreticulada y provista de pelitos blancos escamosos abundantes en el vértex, frente, cara, mejillas y sienes. Arco trans-

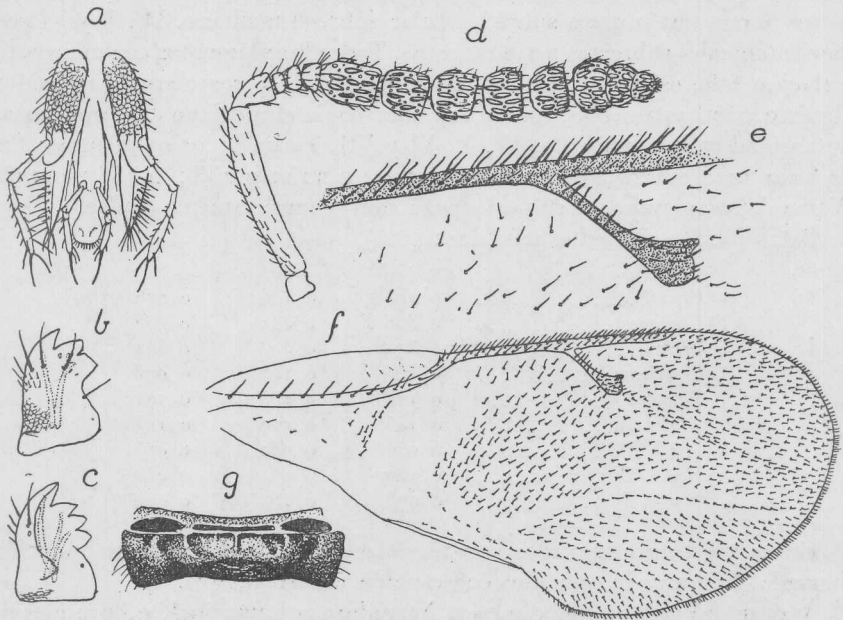


Fig. 6. — *Habroclytus bruchi*, sp. nov., ♀ : a, palpos maxilares y labiales ; b y c, mandíbula ; d, antena ; e, nervadura estigmática ; f, ala anterior ; g, propodeo

versal del vértex suave. Angulo fronto-occipital redondeado, subrectangular. Ancho, 1.50; alto, 1.15; largo, 0.65. Línea interocular (frente), 1.00; antenocular, 0.40; ocelocular, 0.19; clipeo-ocular, 0.39; postocelar, 0.40; laterocelar, 0.17; interantenal, 0.05; malar, 0.30. Ojos, 0.70 × 0.51, calvos, ovalados con el borde inferior anguloso. Clipeo semicircular con el borde apical subrecto. Mandíbulas 0.375 × 0.250.

Antenas insertas muy poco por encima de la línea infraocular. Radícula, 0.050; escapo, 0.37 × 0.06, con reticulación muy alargada y fina; pedicelo, 0.12; Anillos: I, 0.020 × 0.050; II, 0.037 × 0.058; III, 0.041 × 0.066. Funiculo: I, 0.133 × 0.091; II, 0.116 × 0.100; III, 0.108 × 0.100; IV, 0.100 × 0.105; V, 0.095 × 0.112. Maza: I, 0.083 × 0.116; II, 0.066 × 0.108; III, 0.058 × 0.066. Todos los segmentos del funiculo

y maza con sensorios cortos. Palpos maxilares : I, 0.075 ; II, 0.105 ; III, 0.075 ; IV, 0.141. Palpos labiales : I, 0.091 ; II, 0.025 ; III, 0.092.

Tórax 1.77 × 1.37. Pronoto (0.30), subparalelo, un poco ensanchado en la región de las escápulas y con 5 hileras irregulares transversales de pelitos blancos reclinados. Tercio mediano con reticulación fina, transversal y profunda, con 8-9 polígonos en la línea mediana ; la reticulación de los tercios externos, mucho más fina y equilateral. Mesonoto (0.80) con reticulación poligonal regular finísima, especialmente en el 1/3 mediano donde la línea mediana cruza de 45-50 polígonos ; éstos miden apenas la mitad del ancho de los pronotales. Líneas parapsidales bien marcadas, incompletas, convergentes con ángulo de 110° y extracurvadas en el 1/5 distal ; distancia entre sus ápices (0.28) apenas mayor a la que los separa del borde escutelar (0.20) y decididamente más corto que este último (0.35). Prescuto con 13-14 hileras irregulares transversales de pelitos blanquecinos ; escápula con 8 hileras.

Escutelo 0.75 × 0.82 ; sagita del arco apical subigual al 1/3 de la línea mediana. Disco un poco achatado. Reticulación parecida al mesonotal y con pelos blancos prominentes en 8-9 hileras transversales irregulares. Placa latero-escutelar 0.25 × 0.12, microreticulado pero sin pelos. Axilas con pelitos blancos abundantes en la mitad interna. Impresiones mediana y laterales del metanoto microreticulados, la mediana con 8 rugas transversales y las laterales cada una con 2-3, incompletas ; placas laterales lucientes, casi dos veces el ancho de la impresión. Propodeo completamente reticulado, los lóbulos laterales densamente poblados de pelos blancos. Espiráculos subovalados. Episterno, epímero y metapleura finamente microreticulado, el primero con 3-4 pelos blancos en el borde anterior, y una pequeña impresión alargada en el centro del epímero y otra en el ángulo inferior de la metapleura.

Abdomen 2.25 × 1.05, cónico alargado. Tergitos con microreticulación fina subtransversa que desaparece en el 1/4 apical luciente de los segmentos. I con el borde apical débilmente convexo, los demás segmentos con bordes rectos. Todos con pelos blancos laterales prominentes que continúan sobre el vientre en los 5 últimos segmentos. Largo de los segmentos sobre la línea mediana : 0.55 ; 0.15 ; 0.30 ; 0.35 ; 0.40 ; 0.49 ; 0.37. Taladro oculto. Vaina, 0.40.

Patas con las medidas siguientes :

	I	II	III
Coxas.....	0.333 × 0.250	0.300 × 0.208	0.500 × 0.291
Fémures.....	0.658	0.582	0.795
Tibias.....	0.633	0.665	0.833
Espolones.....	0.158	0.208	0.125
Tarsos I.....	0.200	0.250	0.266
» II.....	0.150	0.195	0.200
» III.....	0.110	0.141	0.123
» IV.....	0.075	0.100	0.091
» V.....	0.100	0.141	0.166

Alas anteriores 2.80×1.20 . Nervadura submarginal 1.10 , con 21 cerdas dorsales (0.066); marginal, 0.47 ; postmarginal, 0.45 ; estigmática, 0.29 . Alas posteriores 2.00×0.75 ; nervadura subcostal: sección basal 0.33 con 13 cerdas blancas, sección intermedia 0.32 ; sección distal 0.45 . Célula costal sin macrotriquias.

Largo. — 4.50 mm

Tipos. — En la colección del autor; fototipos en el Museo de La Plata.

Observaciones. — Parásito de la larva de *Strobelia baccharidis* Rond., en Alta Gracia, Córdoba, II-1940 criado por el doctor Carlos Bruch, a quien dedico respetuosamente la nueva especie.

Résumé. — Après un rapport sur les propriétés de la plante nourricière et les habitudes de la larve de *Strobelia baccharidis* Rond., qui produit sur les branches de celle-là les cocons d'écume, l'auteur réfute l'opinion de quelques entomologistes que ces sécrétions soient de vraies galles.

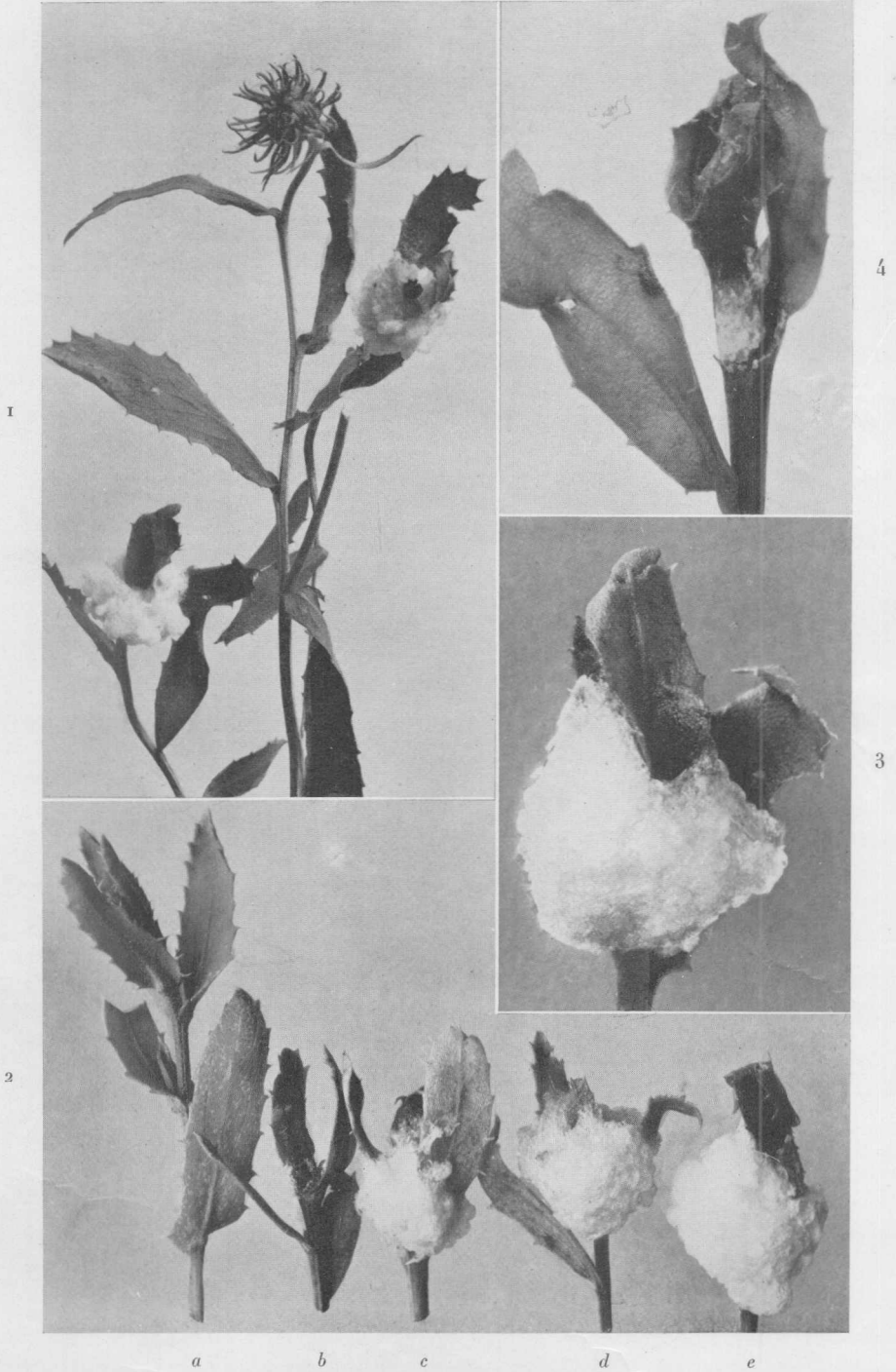
Il appuie son argument dans le fait qu'il n'y a pas de modifications dans le tissu végétal, caractéristique des cécidies et décrit avec plus de détails la conduite de la larve dans la confection de son cocon et pendant son développement jusqu'à l'apparition de la belle mouche.

Il décrit ensuite les différents stades de la métamorphose et donne les versions en espagnol des diagnoses original et synonymique, étant donné la difficulté de les obtenir dans ce pays.

En dernier lieu l'auteur fait allusion à quelques hyménoptères parasites, obtenus en captivité des larves de *Strobelia*.

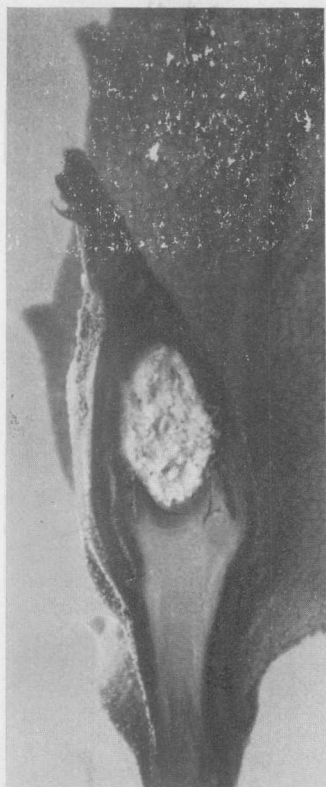
Suivent les descriptions de ces hyménoptères parasites, faites par l'entomologiste Mr. Blanchard qui a déterminé un nouveau genre et deux nouvelles espèces pour la science.

Les illustrations originelles des auteurs servent de complément aux descriptions.

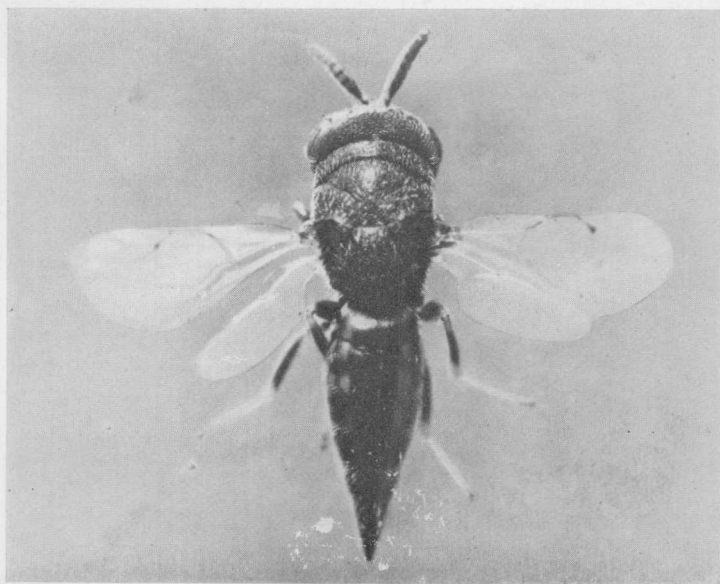


1, Ramita de *Grindelia discoidea* Hook. et Arn. con espumas expelidas por larvas de *Strobelia baccharidis* Rond. (tam. nat.); 2, hojas terminales : a, intactas ; b, apenas atacadas por una larva de *Strobelia* ; c-e, espumas producidas por larvas de *Strobelia* (Fotos C. Bruch).

5



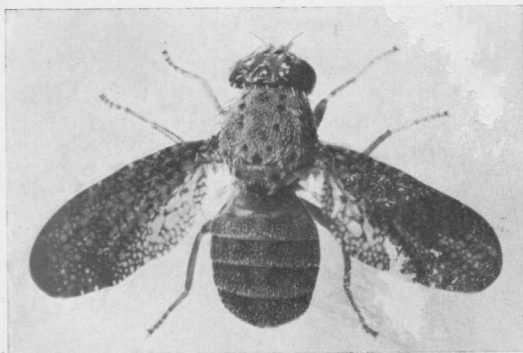
6



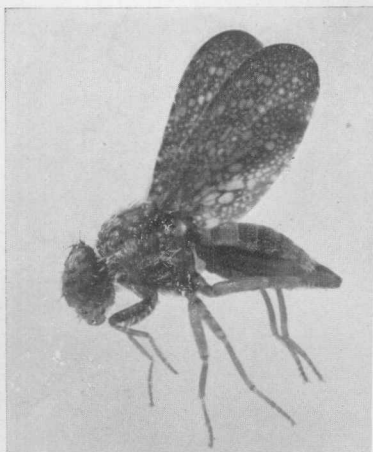
7

5, Sección por una cámara larval de *Strobelia baccharidis*; 6, idem con la pupa (10 aumentos)
7, *Habrocytus Bruchi* Blanchd. (Fototipo.) (Fotos C. Bruch)

8



10

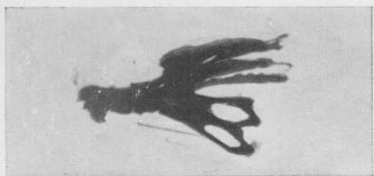


9

14

15

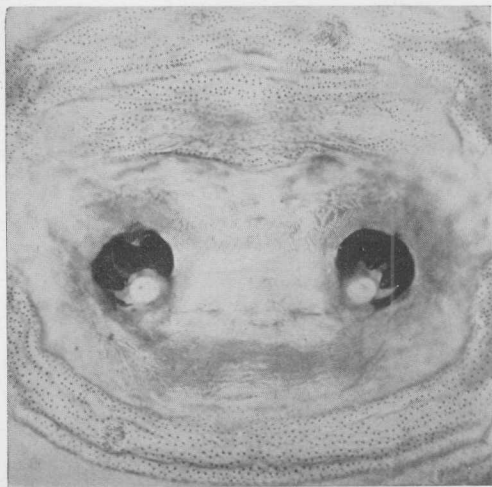
12



11

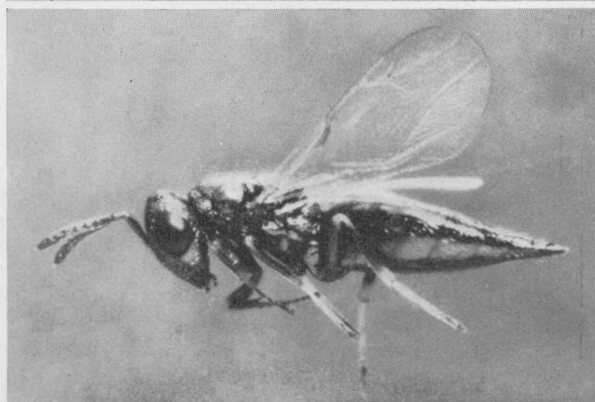
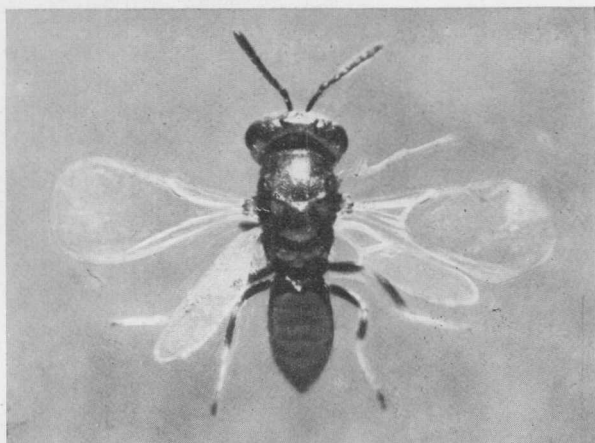


13

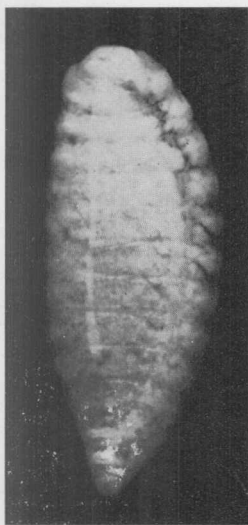


8, *Strobelia baccharidis* Rond. ♂; 9, idem. ♀ (5 ×); 10, larva (5 ×); 11, antecuerpo de la larva (15 ×); 12, esqueleto cefalofaríngeo de la larva (muy aumentado); 13, espiráculos posteriores de la misma (muy aumentados); 14, ninfa (5 ×); 15, pupa (5 ×). (Fotos C. Bruch.)

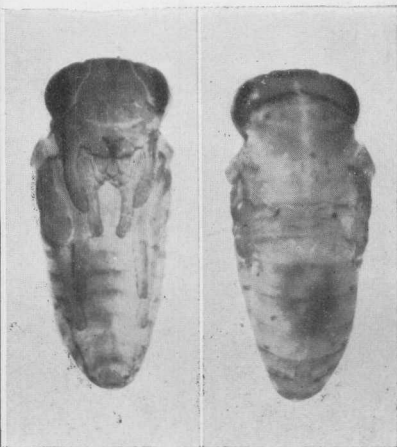
16



17



18



19

20

16, *Epicatolaccus strobeliae* Blanchd. ♂, Fototipo (20 X); 17, ídem ♀ Fototipo (20 X); 18, larva de *E. strobeliae* ♀ (25 X); 19 y 20, ninfas de *E. strobeliae*, vista ventral y dorsal (25 X). (Fotos C. Bruch.)